

Д. т. н. А. А. АЩЕУЛОВ, д. ф.-м. н. И. В. ГУЦУЛ

Украина, г. Черновцы, Институт термоэлектричества;  
 ЧНУ им. Юрия Федьковича  
 E-mail: photon@argocom.cv.ua

Дата поступления в редакцию  
 29.04 2005 г.

Оппоненты д. ф.-м. н. З. Д. КОВАЛЮК  
 (ЧФ ИПМ, г. Черновцы),  
 д. т. н. В. В. ДАНИЛОВ (ДонНУ, г. Донецк)

## ИССЛЕДОВАНИЕ АНИЗОТРОПНЫХ ОПТИКОТЕРМОЭЛЕМЕНТОВ В СЛУЧАЕ РАЗЛИЧНЫХ ОПТИЧЕСКИХ И ТЕПЛОВЫХ РЕЖИМОВ

*Исследования впервые позволили предложить и реализовать метод «прозрачной стенки», предназначенный для регистрации лучистых потоков повышенной плотности в широком спектральном диапазоне.*

В настоящее время определенный интерес представляет эффект поперечной термоЭДС, обусловленный анизотропией коэффициентов термоЭДС [1] и теплопроводности [2]. Его исследованию посвящен ряд публикаций [3—8], где на основе уравнений теплопроводности с соответствующими граничными условиями рассмотрены конкретные распределения температур и термоэлектрических потенциалов анизотропной пластины, экспериментальное сравнение которых проведено в [9, 10].

Появление источников энергии повышенной плотности обусловило возникновение проблемы их преобразования и регистрации. Для ее решения впервые было предложено использовать среды с различной степенью оптической прозрачности при одновременном преобразовании поглощенной части энергии с помощью известных теплопирокалориметрических эффектов [11—14]. Проведенный анализ показал, что для лучистых потоков УФ-, видимой, ИК- и СВЧ-областей спектра реализация этого метода перспективна в случае вышеупомянутой поперечной термоЭДС, послужившей в дальнейшем основой для появления оригинальных анизотропных оптикотермоэлементов (АОТ) [15—17].

В настоящей работе представлены результаты исследований некоторых АОТ, проведенных авторами, в случае различных распределений температур и направлений лучистых потоков, а также рассмотрены их особенности.

### АОТ при одномерном распределении температур

В первых публикациях, посвященных исследованию поперечной термоЭДС с учетом оптических свойств, АОТ рассматривались в виде прямоугольной пластины 1 длиной  $a$ , высотой  $b$  и шириной  $c$  из оптически прозрачного материала, анизотропного по коэффициентам теплопроводности  $\hat{\chi}$  и термоЭДС  $\hat{\alpha}$  (рис. 1). Эти тензоры в лабораторной системе координат ( $X'YZ$ ), смещенной на угол  $\varphi$  в плоскости  $XOY$  относительно кристаллографической ( $XYZ$ ), имеют вид

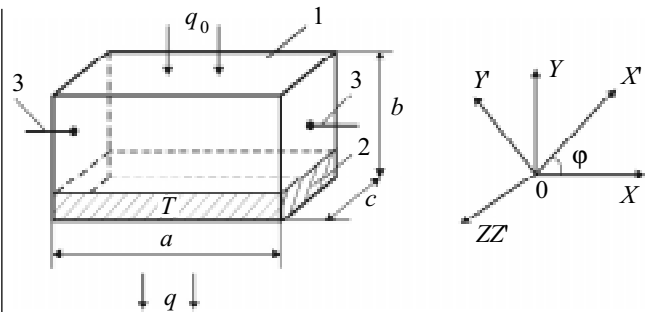


Рис. 1. Схема АОТ в случае термостатирования нижней рабочей грани:

1 — пластина из анизотропного материала; 2 — термостат; 3 — электровыводы. Справа — лабораторная система координат  $X'YZ$  и ориентация главных кристаллографических осей  $XYZ$  монокристаллической пластины 1

$$\hat{\chi} = \begin{vmatrix} \chi_{\parallel} \cdot \sin^2 \varphi + \chi_{\perp} \cdot \cos^2 \varphi & (\chi_{\parallel} - \chi_{\perp}) \cdot \sin \varphi \cdot \cos \varphi & 0 \\ (\chi_{\parallel} - \chi_{\perp}) \cdot \sin \varphi \cdot \cos \varphi & \chi_{\parallel} \cdot \cos^2 \varphi + \chi_{\perp} \cdot \sin^2 \varphi & 0 \\ 0 & 0 & \chi_{\perp} \end{vmatrix}, \quad (1)$$

$$\hat{\alpha} = \begin{vmatrix} \alpha_{\parallel} \cdot \sin^2 \varphi + \alpha_{\perp} \cdot \cos^2 \varphi & (\alpha_{\parallel} - \alpha_{\perp}) \cdot \sin \varphi \cdot \cos \varphi & 0 \\ (\alpha_{\parallel} - \alpha_{\perp}) \cdot \sin \varphi \cdot \cos \varphi & \alpha_{\parallel} \cdot \cos^2 \varphi + \alpha_{\perp} \cdot \sin^2 \varphi & 0 \\ 0 & 0 & \alpha_{\perp} \end{vmatrix}. \quad (2)$$

На верхнюю грань этой пластины падает однородный монохроматический лучистый поток плотностью  $q_0$ , а ее нижняя грань находится в теплооптическом контакте с термостатом 2 при температуре  $T=T_0$ . Термостат 2 выполнен из изотропного материала, оптический спектральный диапазон которого совпадает с соответствующим диапазоном длин волн материала АОТ. Боковые грани АОТ адиабатически изолированы, при этом краевые эффекты не учитываются ( $a=c \gg b$ ) [4].

Распределение температуры АОТ при антипараллельных направлениях градиента температуры и лучистого потока находится из основного уравнения теплопроводности [18] при наличии внутренних источников тепла:

$$\frac{\partial T}{\partial t} = \frac{1}{c_0 d} \sum_{i,k=1}^3 \chi_{ik} \frac{\partial^2 T}{\partial x_i \partial x_k} + \frac{q_v}{c_0 d}, \quad (3)$$

где  $c_0$  — удельная теплоемкость;  
 $d$  — плотность материала АОТ;

$\chi_{ik}$  — соответствующие компоненты тензора теплопроводности;  
 $q_v$  — количество тепла, выделяемого внутренними источниками в единице объема за единицу времени и определяемого законом Бугера–Ламберта.

В случае стационарного распределения температуры  $\left(\frac{\partial T}{\partial t} = 0\right)$  для приближений  $\frac{\partial T}{\partial x} = \frac{\partial T}{\partial z} = 0$ ,  $\chi_{12} < \chi_{22}$  уравнение (3) приобретает вид

$$\chi_{22} \frac{\partial^2 T}{\partial y^2} + q_0 \gamma \cdot e^{-\gamma(b-y)} = 0, \quad (4)$$

где  $\gamma$  — коэффициент оптического поглощения материала АОТ.

Решая (4) при граничных условиях

$$T \Big|_{y=0} = T_0, \quad \frac{\partial T}{\partial y} \Big|_{y=b} = 0, \quad (5)$$

получим одномерное распределение температуры объема АОТ:

$$T(y) = T_0 + \frac{q_0}{\chi_{22}} \left[ y + \frac{e^{-\gamma b}}{\gamma} (1 - e^{-\gamma y}) \right]. \quad (6)$$

Компоненты напряженности термоэлектрического поля  $\vec{E}^T$  определяются соотношением

$$E_i^T = \sum_{k=1}^3 \alpha_{ik} \frac{\partial T}{\partial x_k}. \quad (7)$$

Подставляя (6) в (7), получим:

$$E_x^T = \alpha_{12} \frac{\partial T}{\partial y} = q_0 \frac{\alpha_{12}}{\chi_{22}} \left[ 1 - e^{-\gamma(b-y)} \right]. \quad (8)$$

В соответствии с [5] термоЭДС  $\varepsilon$  определяется следующим образом:

$$\varepsilon = \frac{1}{bc} \int_0^b dy \int_0^c dz \int_0^a E_x^T dx. \quad (9)$$

Подставляя (8) в (9), получаем термоЭДС рассматриваемого АОТ:

$$\varepsilon^{\uparrow\downarrow} = q_0 a \frac{\alpha_{12}}{\chi_{22}} \left[ 1 - \frac{1}{\gamma b} (1 - e^{-\gamma b}) \right]. \quad (10)$$

Коэффициент полезного действия (КПД)  $\eta$  [14] таких устройств определяется соотношением [15]

$$\eta = \eta_k \frac{1}{1 + \Lambda}, \quad (11)$$

где  $\eta_k$  — КПД цикла Карно;

$$\Lambda = \frac{BT_0}{A};$$

$A = I^2 R_{\text{вн}}$  — мощность АОТ;

$B$  — скорость возникновения энтропии объема АОТ —

$$B = \frac{Q_0}{T_0} - \frac{Q_1}{T_1} = \chi_{22} S \left[ \frac{1}{T_0} \frac{dT}{dy} \Big|_{y=0} - \frac{1}{T_1} \frac{dT}{dy} \Big|_{y=b} \right]. \quad (12)$$

Здесь  $Q_0$  и  $Q_1$  — количество теплоты на нижней и верхней гранях АОТ, соответственно,  $S = ac$  — площадь этих граней,  $T_1$  — температура верхней грани.

С учетом (6), для (12) получаем:

$$B = q_0 ac T_0^{-1} (1 - e^{-\gamma b}). \quad (13)$$

Ток  $I$ , протекающий через АОТ,

$$I = \frac{\varepsilon}{R_i + R_{\text{вн}}} = \frac{q_0 a \alpha_{12}}{(R_i + R_{\text{вн}}) \chi_{22}} \left[ 1 - \frac{1}{\gamma b} (1 - e^{-\gamma b}) \right], \quad (14)$$

где  $R_i = \rho \frac{a}{bc}$  — внутреннее сопротивление АОТ;  
 $\rho$  — удельное сопротивление материала;  
 $R_{\text{вн}}$  — сопротивление нагрузки.

В случае  $R_i = R_{\text{вн}}$  выражение для работы  $A$  с учетом (14) приобретает вид

$$A = \frac{q_0^2 abc \alpha_{12}^2}{4 \rho \chi_{22}^2} \left[ 1 - \frac{1}{\gamma b} (1 - e^{-\gamma b}) \right]^2, \quad (15)$$

а безразмерный параметр  $\Lambda$ , входящий в выражение для КПД  $\eta$ , можно представить как

$$\Lambda = \frac{4 \rho \chi_{22}^2 (1 - e^{-\gamma b})}{q_0 b \alpha_{12}^2 \left[ 1 - \frac{1}{\gamma b} (1 - e^{-\gamma b}) \right]^2}. \quad (16)$$

В результате, подставляя (16) в (11) с учетом (6), получаем:

$$\eta^{\uparrow\downarrow} = \frac{q_0 b \chi_{22}^2 \left[ 1 + \frac{1}{\gamma b} (-1 + e^{-\gamma b}) \right]}{T_0 + q_0 b \chi_{22}^2 \left[ 1 + \frac{1}{\gamma b} (-1 + e^{-\gamma b}) \right]} \times \left[ 1 + \frac{4 \rho \chi_{22}^2 (1 - e^{-\gamma b})}{q_0 b \alpha_{12}^2 \left[ 1 - \frac{1}{\gamma b} (1 - e^{-\gamma b}) \right]^2} \right]^{-1}. \quad (17)$$

В некоторых случаях, например АОТ с верхней термостатированной рабочей гранью (рис. 2), направление распространения лучистого потока и градиента температуры совпадают [11]. Лучистый поток плотностью  $q_0$  падает на верхнюю грань термостата  $1$  толщиной  $b_1$

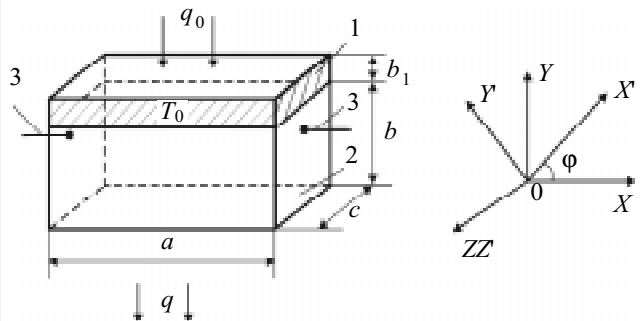


Рис. 2. Схема АОТ в случае термостатирования верхней рабочей грани:

1 — термостат; 2 — анизотропная пластина; 3 — электрические контакты. Справа — лабораторная система координат  $XYZ$  и ориентация главных кристаллографических осей  $X'Y'Z'$  монокристаллической пластины 2

из оптически прозрачного в требуемом спектральном диапазоне длин волн материала с коэффициентом поглощения  $\gamma_1$ . Нижняя грань термостата находится в теплооптическом контакте с верхней гранью пластины 2 при температуре  $T = T_0$ . Боковые и нижняя грани пластины 2 адиабатически изолированы. Распределение температуры такого термоэлемента также находится из уравнения теплопроводности (3), аналогично (4):

$$\chi_{22} \frac{d^2 T}{dy^2} + q_0 \cdot e^{-\gamma_1 b} \cdot \gamma \cdot e^{-\gamma(b-y)} = 0. \quad (18)$$

Решая уравнение (18) при граничных условиях

$$\left. \frac{dT}{dy} \right|_{y=0} = 0, \quad T \Big|_{y=b} = T_0, \quad (19)$$

получим распределение температуры этого АОТ:

$$T = T_0 + \frac{q_0 e^{-\gamma_1 b}}{\chi_{22}} \left\{ (y-b)e^{-\gamma b} + \frac{1}{\gamma} [1 - e^{-\gamma(b-y)}] \right\}. \quad (20)$$

Используя соотношения (7) и (9), получим выражение поперечной термоЭДС  $\varepsilon^{\downarrow\downarrow}$  АОТ с параллельным направлением лучистого потока и градиента температуры:

$$\varepsilon^{\downarrow\downarrow} = \frac{q_0 a \alpha_{12} e^{-\gamma_1 b}}{\chi_{22}} \left\{ e^{-\gamma b} - \frac{1}{\gamma b} [1 - e^{-\gamma b}] \right\}. \quad (21)$$

Аналогично (17), коэффициент полезного действия  $\eta^{\downarrow\downarrow}$  для этого случая

$$\eta^{\downarrow\downarrow} = \frac{q_0 \gamma^{-1} e^{-\gamma_1 b} \chi_{22}^{-1} [1 - e^{-\gamma b} (1 + \gamma b)]}{T_0 + q_0 \gamma^{-1} e^{-\gamma_1 b} \chi_{22}^{-1} [1 - e^{-\gamma b} (1 + \gamma b)]} \times$$

$$\times \left\{ 1 + \frac{4 \rho e^{-\gamma_1 b} (1 - e^{-\gamma b}) \chi_{22}^{-1}}{q_0 b \alpha_{12}^2 \left[ e^{-\gamma b} - \frac{1}{\gamma b} (1 - e^{-\gamma b}) \right]^2} \right\}^{-1}. \quad (22)$$

Из (10), (17), (21), (22) следует, что в зависимости от степени оптической прозрачности вольт-ваттная чувствительность [9]  $S_0$  и коэффициент полезного действия  $\eta$  АОТ с антипараллельным и параллельным распространением лучистого потока по отношению к градиенту температуры в случае одномерного распределения температуры имеют вид:

а) режим оптического пропускания ( $\gamma b \ll 1$ ,  $\gamma_1 b_1 \ll 1$ ) —

$$S_{01}^{\uparrow\downarrow} = \frac{\alpha_{12}}{2\chi_{22} c} \gamma b; \quad (23)$$

$$\eta_{11}^{\downarrow\uparrow} = \frac{q_0 b \chi_{22}^{-1} \gamma b}{2T_0 + q_0 b \chi_{22}^{-1} \gamma b} \left[ 1 + \frac{8 \rho \chi_{22}^2 (2 - \gamma b)}{q_0 b \alpha_{12}^2 \gamma b} \right]^{-1}; \quad (24)$$

$$S_{01}^{\downarrow\downarrow} = \frac{\alpha_{12}}{\chi_{22} c} e^{-\gamma_1 b} \gamma b; \quad (25)$$

$$\eta_{11}^{\downarrow\downarrow} = \frac{q_0 b \chi_{22}^{-1} \gamma b e^{-\gamma_1 b}}{T_0 + q_0 b \chi_{22}^{-1} \gamma b e^{-\gamma_1 b}} \left[ 1 + \frac{4 \rho \chi_{22}^2 e^{\gamma_1 b}}{q_0 b \alpha_{12}^2 \gamma b} \right]^{-1}; \quad (26)$$

б) режим объемного поглощения ( $\gamma b \approx 1$ ,  $\gamma_1 b_1 \ll 1$ ) —

$$S_{02}^{\uparrow\downarrow} = \frac{\alpha_{12}}{e \chi_{22} c}; \quad (27)$$

$$\eta_2^{\downarrow\uparrow} = \frac{q_0 b \chi_{22}^{-1} e^{-1}}{T_0 + q_0 b \chi_{22}^{-1} e^{-1}} \left[ 1 + \frac{4 \rho \chi_{22}^2 (1 - e^{-1})}{q_0 b \alpha_{12}^2 e^{-2}} \right]^{-1}; \quad (28)$$

$$S_{02}^{\downarrow\downarrow} = \frac{\alpha_{12}}{\chi_{22} c} e^{-\gamma_1 b} (e - 2); \quad (29)$$

$$\eta_2^{\downarrow\downarrow} = \frac{q_0 \chi_{22}^{-1} \gamma^{-1} e^{-\gamma_1 b} (1 - 2e^{-1})}{T_0 + q_0 \chi_{22}^{-1} \gamma^{-1} e^{-\gamma_1 b} (1 - 2e^{-1})} \left[ 1 + \frac{4 \rho \chi_{22}^2 e^{\gamma_1 b} (1 - e^{-1})}{q_0 b \alpha_{12}^2 (2e^{-1} - 1)^2} \right]^{-1}; \quad (30)$$

в) режим поверхностного поглощения ( $\gamma b \gg 1$ ,  $0 < \gamma_1 b_1 \leq \gamma b$ ) —

$$S_{03}^{\uparrow\downarrow} = \frac{\alpha_{12}}{\chi_{22} c} \left( 1 - \frac{1}{\gamma b} \right); \quad (31)$$

$$\eta_3^{\downarrow\uparrow} = \frac{q_0 b \chi_{22}^{-1}}{T_0 + q_0 b \chi_{22}^{-1}} \left[ 1 + \frac{4 \rho \chi_{22}^2}{q_0 b \alpha_{12}^2} \right]^{-1}; \quad (32)$$

$$S_{03}^{\downarrow\downarrow} = \frac{\alpha_{12}}{\chi_{22} c} \frac{1}{\gamma b} e^{-\gamma_1 b}; \quad (33)$$

$$\eta_3^{\downarrow\downarrow} = \frac{q_0 \chi_{22}^{-1} \gamma^{-1} e^{-\gamma_1 b}}{T_0 + q_0 \chi_{22}^{-1} \gamma^{-1} e^{-\gamma_1 b}} \left[ 1 + \frac{4 \rho \chi_{22}^2 e^{\gamma_1 b}}{q_0 b \alpha_{12}^2 (\gamma b)^2} \right]^{-1}. \quad (34)$$

Анализ выражений (23) — (34) показывает, что максимальные значения вольт-ваттной чувствительности  $S_0$  и КПД  $\eta$  определяются анизотропией коэффициентов термоЭДС  $\hat{\alpha}$  и теплопроводности  $\hat{\chi}$  и наблюдаются при некоторых оптимальных углах  $\varphi_{\text{опт}}$ , значения которых находятся из [5]:

$$\frac{\partial \varepsilon}{\partial \varphi} = 0, \quad \frac{\partial^2 \varepsilon}{\partial \varphi^2} < 0. \quad (35)$$

Проведенные исследования позволили сделать выводы о том, что эффективное использование АОТ в роли энергетических преобразователей перспективно в случае режима поверхностного поглощения ( $\gamma b \gg 1$ ) при антипараллельном расположении лучистого потока и градиента температуры. Термоэлементы, работающие в режиме оптического пропускания ( $\gamma b \ll 1$ ), наиболее эффективно проявили себя в качестве информационных преобразователей, позволивших предложить и реализовать новый метод регистрации лучистых потоков, названный нами методом “прозрачной стенки”, а также создать оригинальные средства для регистрации и непрерывного контроля проходящих лучистых потоков различной мощности [14].

#### АОТ при двухмерном распределении температуры, обусловленном анизотропией теплопроводности

Двухмерное распределение температуры, обусловленное анизотропией теплопроводности материала АОТ при антипараллельных направлениях лучистого потока и градиента температуры (рис. 1), также находится из уравнения теплопроводности (3), которое в приближении  $\chi_{11} > \chi_{12}$ ,  $\chi_{22} > \chi_{12}$  для стационарного случая имеет вид

$$\xi^2 \frac{\partial^2 T}{\partial x^2} + \frac{\partial^2 T}{\partial y^2} + q_0 \gamma [e^{-\gamma(b-y)} + e^{-\gamma x}] = 0, \quad (36)$$

где  $\xi^2 = \frac{\chi_{11}}{\chi_{22}}$ .

Решение уравнения (36) проводится при граничных условиях

$$\frac{\partial T}{\partial x}\Big|_{x=0} = \frac{\partial T}{\partial x}\Big|_{x=a} = 0, \quad T\Big|_{y=0} = T_0, \quad \frac{\partial T}{\partial y}\Big|_{y=b} = 0. \quad (37)$$

Известно, что собственной функцией задачи Штурма–Лиувилля [19, 20]

$$\frac{d^2 f}{dx^2} + \lambda^2 f = 0, \quad \frac{df}{dx}\Big|_{x=0} = \frac{df}{dx}\Big|_{x=a} = 0 \quad (38)$$

является функция  $\cos \lambda_n x$ , отвечающая собственному

значению  $\lambda_n = \frac{n\pi}{a}$ , где  $n = 0, 1, 2, \dots$ .

Система  $\{\cos \lambda_n x\}_{n=0}^{\infty}$  — полная, замкнутая ортогональная система функций на отрезке  $[0, a]$ , что позволяет разложить функции  $f(x)$  в ряд Фурье.

Функция  $f(x)$  по своему изображению [20]

$$\hat{F}_n[f(x)] = \int_0^a f(x) \cos \lambda_n x dx \equiv f_n \quad (39)$$

однозначно восстанавливается по правилу

$$f(x) = \hat{F}_n^{-1}[f_n] = \frac{1}{a} \sum_{n=0}^{\infty} \delta_n f_n \cos \lambda_n x, \quad (40)$$

где  $\delta_n = \begin{cases} 1, & n=0 \\ 2, & n=1, 2, \dots \end{cases}$

Соотношения (39) и (40) носят название законченного прямого  $\hat{F}_n$  и обратного  $\hat{F}_n^{-1}$  интегральных косинус-преобразований Фурье [19]. Применяв к (36), (37) оператор  $\hat{F}_n$  по правилу (39), вследствие тождественности

$$\hat{F}_n \left[ \xi^2 \frac{\partial^2 T}{\partial x^2} \right] \equiv \int_0^a \xi^2 \frac{\partial^2 T}{\partial x^2} \cos \lambda_n x dx \equiv -\xi^2 \lambda_n^2 T_n(y), \quad (41)$$

где

$$T_n(y) = \int_0^a T(x, y) \cos \lambda_n x dx, \quad (42)$$

получаем задачу построения решения уравнения

$$\frac{d^2 T_n}{dy^2} - \xi^2 \lambda_n^2 T_n(y) = -\Phi_n(y), \quad y \in (0, b), \quad (43)$$

причем

$$\Phi_n(y) = \int_0^a \frac{q_0 \gamma}{\chi_{22}} \left[ e^{-\gamma(b-y)} + e^{-\gamma x} \right] \cos \lambda_n x dx \quad (44)$$

при граничных условиях

$$T_0(y)\Big|_{y=0} = T_{0n}, T_{0n} = \int_0^a T_0 \cdot \cos \lambda_n x \cdot dx = \begin{cases} T_0 a, & n=0 \\ 0, & n=1, 2, \dots \end{cases}, \quad \frac{dT_n(y)}{dy}\Big|_{y=b} = 0. \quad (45)$$

При  $n=0$  уравнение теплопроводности (43) приобретает вид

$$\frac{d^2 T_0}{dy^2} = -\int_0^a \frac{q_0 \gamma}{\chi_{22}} \left[ e^{-\gamma(b-y)} + e^{-\gamma x} \right] dx \quad (46)$$

при следующих граничных условиях:

$$T_0(y)\Big|_{y=0} = T_0 a; \quad \frac{dT_0(y)}{dy}\Big|_{y=b} = 0. \quad (47)$$

Решение уравнений (46), (47) получаем в виде

$$T_0(y) = T_0 a + \frac{q_0 a}{\chi_{22}} \left\{ \frac{e^{-\gamma b}}{\gamma} + \left[ 1 + \frac{b}{a} (1 - e^{-\gamma a}) \right] y - \frac{e^{-\gamma(b-y)}}{\gamma} - \frac{1 - e^{-\gamma a}}{2a} y^2 \right\}. \quad (48)$$

Для  $n>0$  общее решение (43) находится в виде суммы общего решения однородного и частного решения неоднородного уравнений, т. е.

$$T_n(y)\Big|_{n>0} = T_n^{\text{одн}}(y) + T_n^{\text{неодн}}(y). \quad (49)$$

Общее решение однородного уравнения (43) ищем в виде

$$T_n^{\text{одн}}(y)\Big|_{n>0} = A_{1n} \text{ch}(\xi \lambda_n y) + A_{2n} \text{sh}(\xi \lambda_n y). \quad (50)$$

Поскольку правая часть (43) определяется выражением (44), то после интегрирования она приобретает вид

$$\Phi_n(y) = \frac{q_0 \gamma^2}{\chi_{22}} \frac{[1 - (-1)^n e^{-\gamma a}]}{(\lambda_n^2 + \gamma^2)} \quad (51)$$

и является постоянной величиной.

Для частного решения  $T_n^{\text{неодн}}(y)$  получаем:

$$T_n^{\text{неодн}}(y)\Big|_{n>0} = \frac{q_0 \gamma^2}{\chi_{22}} \frac{[1 - (-1)^n e^{-\gamma a}]}{\xi^2 \lambda_n^2 (\lambda_n^2 + \gamma^2)}. \quad (52)$$

Коэффициенты  $A_{1n}$  и  $A_{2n}$  вычислим после подстановки (50) и (52) в выражение (49) при граничных условиях

$$T_n(y)\Big|_{y=0} = 0; \quad \frac{dT_n(y)}{dy}\Big|_{y=b} = 0. \quad (53)$$

В результате общее решение неоднородного уравнения (43) при  $n>0$  приобретает вид

$$T_n(y)\Big|_{n>0} = \frac{q_0 \gamma^2}{\chi_{22}} \frac{[1 - (-1)^n e^{-\gamma a}]}{\xi^2 \lambda_n^2 (\lambda_n^2 + \gamma^2)} \left\{ 1 - \frac{\text{ch}[\xi \lambda_n (b-y)]}{\text{ch}(\xi \lambda_n b)} \right\}. \quad (54)$$

Применяя обратное интегральное косинус-преобразование Фурье (40) к общему решению неоднородного дифференциального уравнения (43)

$$T(x, y) = \hat{F}_n^{-1}[T_n(y)] = \frac{1}{a} \sum_{n=0}^{\infty} \delta_n T_n(y) \cos \lambda_n x = \frac{1}{a} T_0(y) + \frac{2}{a} \sum_{n=1}^{\infty} T_n(y) \cos \lambda_n x \quad (55)$$

и подставив (48) и (54) в (55), получим распределения температуры в следующем виде:

$$T(x, y) = T_0 + \frac{q_0}{\chi_{22}} \left[ \frac{e^{-\gamma b}}{\gamma} (1 - e^{\gamma y}) + y + (1 - e^{-\gamma a}) \left( \frac{b}{a} y - \frac{1}{2a} y^2 \right) \right] + \frac{2q_0 \gamma^2}{\alpha \chi_{11}} \sum_{n=1}^{\infty} \frac{[1 - (-1)^n e^{-\gamma a}]}{\lambda_n^2 (\lambda_n^2 + \gamma^2)} \left\{ 1 - \frac{\operatorname{ch} \left[ \sqrt{\frac{\chi_{11}}{\chi_{22}}} \lambda_n (b - y) \right]}{\operatorname{ch} \left[ \sqrt{\frac{\chi_{11}}{\chi_{22}}} \lambda_n b \right]} \right\} \cos \lambda_n x. \quad (56)$$

Анализ (56) показывает, что полученное распределение температуры  $T(x, y)$  имеет сложную нелинейную зависимость от координат и определяется как анизотропией теплопроводности, так и оптическими свойствами материала пластины.

Подставив (56) в (7), получим:

$$E_x^T = \frac{q_0 \alpha_{12}}{\chi_{22}} \left[ 1 - e^{-\gamma(b-y)} + \frac{b}{a} (1 - e^{\gamma a}) - \frac{1 - e^{-\gamma a}}{a} y \right] + \frac{2q_0 \gamma^2 \alpha_{12}}{\alpha \chi_{11}} \sum_{n=1}^{\infty} \frac{[1 - (-1)^n e^{-\gamma a}]}{\lambda_n (\lambda_n^2 + \gamma^2)} \frac{\sqrt{\chi_{11}} \operatorname{sh} \left[ \sqrt{\frac{\chi_{11}}{\chi_{22}}} \lambda_n (b - y) \right]}{\operatorname{ch} \left[ \sqrt{\frac{\chi_{11}}{\chi_{22}}} \lambda_n b \right]} \times \cos \lambda_n x - \frac{2q_0 \gamma^2 \alpha_{11}}{\alpha \chi_{11}} \sum_{n=1}^{\infty} \frac{[1 - (-1)^n e^{-\gamma a}]}{\lambda_n (\lambda_n^2 + \gamma^2)} \times \sin \lambda_n x \left\{ 1 - \frac{\operatorname{ch} \left[ \sqrt{\frac{\chi_{11}}{\chi_{22}}} \lambda_n (b - y) \right]}{\operatorname{ch} \left[ \sqrt{\frac{\chi_{11}}{\chi_{22}}} \lambda_n b \right]} \right\}. \quad (57)$$

Подставляя (57) в (9), после интегрирования получим выражение термоЭДС  $\epsilon_1^{\uparrow\downarrow}$  АОТ с антипараллельными направлениями лучистого потока и градиента температуры:

$$\epsilon_1^{\uparrow\downarrow} = \frac{q_0 \alpha_{12}}{\chi_{22}} \left[ 1 + \frac{b}{2a} (1 - e^{-\gamma a}) - \frac{1}{\gamma b} (1 - e^{-\gamma b}) \right] + \frac{4q_0 \gamma^2 \alpha_{11}}{ab \chi_{11}} \sum_{k=0}^{\infty} \frac{1 + e^{-\gamma a}}{a^2 \left[ \frac{(2k+1)^2 \pi^2}{a^2} + \gamma^2 \right]} \times \left[ \frac{a}{(2k+1)\pi \sqrt{\chi_{11}}} \operatorname{th} \left( \frac{\sqrt{\chi_{11}} (2k+1)\pi b}{\sqrt{\chi_{22}} a} \right) - b \right]. \quad (58)$$

В отличие от одномерного распределения температуры (6), при котором поперечная термоЭДС  $\epsilon_1^{\uparrow\downarrow}$  (10) определяется только коэффициентом термоЭДС  $\alpha_{12}$ , в случае двухмерного распределения температуры (56) величина  $\epsilon_1^{\uparrow\downarrow}$  определяется и коэффициентом термоЭДС  $\alpha_{11}$ . Это значит, что при одномерном распределении температуры поперечная термоЭДС

обусловлена составляющей градиента температуры только вдоль оси  $OY$ , а при двухмерном — составляющими вдоль осей  $OY$  и  $OX$ .

Двухмерное распределение температуры АОТ с параллельными направлениями градиента температуры и лучистого потока (рис. 2) также находится из (3) —

$$\frac{\partial^2 T}{\partial x^2} + \beta^2 \frac{\partial^2 T}{\partial y^2} + \frac{q_0 \gamma}{\chi_{11}} \cdot e^{-\gamma b} [e^{-\gamma(b-y)} + e^{-\gamma x}] = 0, \quad (59)$$

где  $\beta^2 = \frac{\chi_{22}}{\chi_{11}}$

при граничных условиях

$$\frac{\partial T}{\partial x} \Big|_{x=0} = \frac{\partial T}{\partial y} \Big|_{x=a} = 0, \quad \frac{\partial T}{\partial y} \Big|_{y=0} = 0, \quad T \Big|_{y=b} = T_0. \quad (60)$$

Использование задачи Штурма–Луивилля с последующими прямыми и обратными интегральными косинус-преобразованиями Фурье [20] приводит, аналогично (39)—(55), к следующему распределению температуры АОТ:

$$T(x, y) = T_0 + \frac{q_0 \cdot e^{-\gamma b}}{\chi_{22}} \left\{ (y-b)e^{-\gamma b} + \frac{1}{\gamma} [1 - e^{-\gamma(b-y)}] + \frac{1 - e^{-\gamma a}}{2a} (b^2 - y^2) \right\} + \frac{2q_0 \gamma^2 \cdot e^{-\gamma b}}{\alpha \chi_{11}} \sum_{n=1}^{\infty} \frac{[1 - (-1)^n \cdot e^{-\gamma a}]}{\lambda_n^2 (\lambda_n^2 + \gamma^2)} \left[ 1 - \frac{\operatorname{ch}(\beta^{-1} \lambda_n y)}{\operatorname{ch}(\beta^{-1} \lambda_n b)} \right] \cos \lambda_n x. \quad (61)$$

ТермоЭДС  $\epsilon^{\uparrow\downarrow}$  с учетом (7) и (61) приобретает вид

$$\epsilon_1^{\uparrow\downarrow} = \frac{q_0 \alpha_{12} e^{-\gamma b}}{\chi_{22}} \left\{ e^{-\gamma b} - \frac{1}{\gamma b} [1 - e^{-\gamma b}] - \frac{(1 - e^{-\gamma a})b}{2a} \right\} - \frac{4q_0 \gamma^2}{ab} \times \frac{\alpha_{11} e^{-\gamma b}}{\chi_{11}} \sum_{k=0}^{\infty} \frac{1 + e^{-\gamma a}}{a^2 \left[ \frac{(2k+1)^2 \pi^2}{a^2} + \gamma^2 \right]} \times \left[ b - \frac{a}{(2k+1)\pi \sqrt{\chi_{11}}} \operatorname{th} \left( \frac{\sqrt{\chi_{11}} (2k+1)\pi b}{\sqrt{\chi_{22}} a} \right) \right]. \quad (62)$$

Как и в (58), первая тройка слагаемых (62) определяет термоЭДС, создаваемую градиентом температуры вдоль оси  $OY$ , а слагаемое со знаком суммы — термоЭДС, которая создается градиентом температуры вдоль оси  $OX$ . После соответствующих преобразований следует, что вольт-ваттные чувствительности АОТ с антипараллельными и параллельными направлениями лучистого потока и градиента температуры приобретают вид:

а) режим оптического пропускания ( $\gamma b \ll 1$ ,  $\gamma_1 b_1 \ll 1$ ) —

$$(S_{01}^{\uparrow\downarrow})' = \frac{\alpha_{12}}{\chi_{22} c} \left[ \frac{\gamma b}{2} + \frac{b}{2a} (1 - e^{-\gamma a}) \right] + \frac{4\gamma^2 \alpha_{11}}{a^2 b c \chi_{11}} \sum_{k=0}^{\infty} \frac{1 + e^{-\gamma a}}{a^2 \left[ \frac{(2k+1)^2 \pi^2}{a^2} + \gamma^2 \right]} \times \left[ \frac{a}{(2k+1)\pi \sqrt{\chi_{11}}} \operatorname{th} \left( \frac{\sqrt{\chi_{11}} (2k+1)\pi b}{\sqrt{\chi_{22}} a} \right) - b \right]; \quad (63)$$

$$(S_{01}^{\downarrow\downarrow})' = \frac{\alpha_{12} e^{-\gamma_1 h}}{\chi_{22} c} \left[ \frac{\gamma b}{2} (\gamma b - 1) - \frac{b}{2a} (1 - e^{-\gamma a}) \right] - \frac{4\gamma^2 e^{-\gamma_1 h}}{a^2 b c} \frac{\alpha_{11}}{\chi_{11}} \sum_{k=0}^{\infty} \frac{1 + e^{-\gamma a}}{(2k+1)^2 \pi^2 \left[ \frac{(2k+1)^2 \pi^2}{a^2} + \gamma^2 \right]} \times \left[ b - \frac{a}{(2k+1)\pi} \sqrt{\frac{\chi_{22}}{\chi_{11}}} \operatorname{th} \left( \sqrt{\frac{\chi_{11}}{\chi_{22}}} \frac{(2k+1)\pi b}{a} \right) \right]; \quad (64)$$

б) режим объемного поглощения ( $\gamma b \approx 1, \gamma_1 b_1 \ll 1$ ) —

$$(S_{02}^{\uparrow\downarrow})' = \frac{\alpha_{12}}{\chi_{22} c} \left[ \frac{1}{e} + \frac{b}{2a} (1 - e^{-\gamma a}) \right] + \frac{4\gamma^2}{a^2 b c} \frac{\alpha_{11}}{\chi_{11}} \sum_{k=0}^{\infty} \frac{1 + e^{-\gamma a}}{(2k+1)^2 \pi^2 \left[ \frac{(2k+1)^2 \pi^2}{a^2} + \gamma^2 \right]} \times \left[ \frac{a}{(2k+1)\pi} \sqrt{\frac{\chi_{22}}{\chi_{11}}} \operatorname{th} \left( \sqrt{\frac{\chi_{11}}{\chi_{22}}} \frac{(2k+1)\pi b}{a} \right) - b \right]; \quad (65)$$

$$(S_{02}^{\downarrow\downarrow})' = \frac{\alpha_{12} e^{-\gamma_1 h}}{\chi_{22} c} \left[ \frac{2}{e} - 1 - \frac{b}{2a} (1 - e^{-\gamma a}) \right] - \frac{4\gamma^2 e^{-\gamma_1 h}}{a^2 b c} \frac{\alpha_{11}}{\chi_{11}} \sum_{k=0}^{\infty} \frac{1 + e^{-\gamma a}}{(2k+1)^2 \pi^2 \left[ \frac{(2k+1)^2 \pi^2}{a^2} + \gamma^2 \right]} \times \left[ b - \frac{a}{(2k+1)\pi} \sqrt{\frac{\chi_{22}}{\chi_{11}}} \operatorname{th} \left( \sqrt{\frac{\chi_{11}}{\chi_{22}}} \frac{(2k+1)\pi b}{a} \right) \right]; \quad (66)$$

в) режим поверхностного поглощения ( $\gamma b \gg 1, 0 < \gamma_1 b_1 \leq \gamma b$ ) —

$$(S_{03}^{\uparrow\downarrow})' = \frac{\alpha_{12}}{\chi_{22} c} \left[ 1 - \frac{1}{\gamma b} + \frac{b}{2a} (1 - e^{-\gamma a}) \right] + \frac{4\gamma^2}{a^2 b c} \frac{\alpha_{11}}{\chi_{11}} \sum_{k=0}^{\infty} \frac{1 + e^{-\gamma a}}{(2k+1)^2 \pi^2 \left[ \frac{(2k+1)^2 \pi^2}{a^2} + \gamma^2 \right]} \times \left[ \frac{a}{(2k+1)\pi} \sqrt{\frac{\chi_{22}}{\chi_{11}}} \operatorname{th} \left( \sqrt{\frac{\chi_{11}}{\chi_{22}}} \frac{(2k+1)\pi b}{a} \right) - b \right]; \quad (67)$$

$$(S_{03}^{\downarrow\downarrow})' = \frac{\alpha_{12} e^{-\gamma_1 h}}{\chi_{22} c} \left[ \frac{b}{2a} (e^{-\gamma a} - 1) - \frac{1}{\gamma b} \right] - \frac{4\gamma^2 e^{-\gamma_1 h}}{a^2 b c} \frac{\alpha_{11}}{\chi_{11}} \sum_{k=0}^{\infty} \frac{1 + e^{-\gamma a}}{(2k+1)^2 \pi^2 \left[ \frac{(2k+1)^2 \pi^2}{a^2} + \gamma^2 \right]} \times \left[ b - \frac{a}{(2k+1)\pi} \sqrt{\frac{\chi_{22}}{\chi_{11}}} \operatorname{th} \left( \sqrt{\frac{\chi_{11}}{\chi_{22}}} \frac{(2k+1)\pi b}{a} \right) \right]. \quad (68)$$

Анализ численных значений  $(S_0^{\uparrow\downarrow})'$  и  $(S_0^{\downarrow\downarrow})'$  показывает, что в режиме оптического пропускания они практически совпадают. Для режима поверхностного поглощения численные значения  $(S_{03}^{\uparrow\downarrow})'$  значительно больше  $(S_{03}^{\downarrow\downarrow})'$ , что обусловлено сложным распределением температуры. В случае АОТ с антипараллельным направлением поглощенная часть энергии проходит через весь объем пластины. При параллельных направлениях поглощенная часть энергии выделяется на поверхности рабочей грани термостата, находящейся в тепловом контакте с термостатом. Большая часть этой энергии уходит в термостат, минуя объем АОТ.

**АОТ при двухмерном распределении температуры, обусловленном термостатированием боковых граней**

Наряду с отводом поглощенного тепла через рабочую грани большой интерес представляют АОТ, отвод поглощенного тепла которых осуществляется через боковые грани. В этом случае контролируемая лучистая энергия проходит только через анизотропную пластину, что расширяет энергетические и спектральные характеристики и упрощает конструкцию [21].

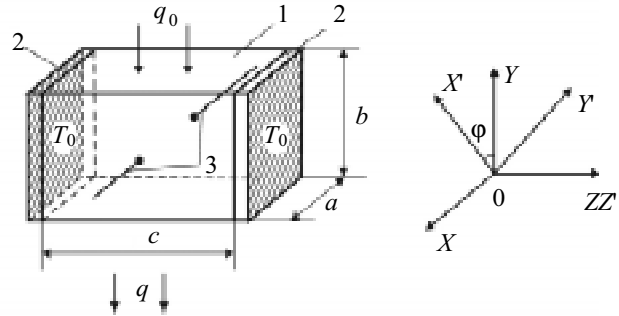


Рис. 3. Схема АОТ в случае термостатирования боковых граней:

1 — анизотропная пластина; 2 — термостат; 3 — электровыводы. Справа — лабораторная система координат XYZ и ориентация кристаллографических осей X'Y'Z' монокристаллической пластины I

Для АОТ прямоугольной формы ( $a \approx c > b$ ) с двумя термостатами, расположенными на боковых гранях ( $a \times b$ ) пластины I (рис. 3), распределение температуры находится из общего уравнения теплопроводности (3) при прежних приближениях —

$$\xi^2 \frac{\partial^2 T}{\partial y^2} + \frac{\partial^2 T}{\partial z^2} + \frac{q_0 \gamma}{\chi_{33}} e^{-\gamma(b-y)} = 0, \quad \beta_0^2 = \frac{\chi_{22}}{\chi_{33}}, \quad (69)$$

решение которого проводится в приближении  $\chi_{12} \ll \chi_{22}$  при граничных условиях

$$\left. \frac{\partial T}{\partial x} \right|_{x=0} = \left. \frac{\partial T}{\partial x} \right|_{x=a} = 0, \quad \left. \frac{\partial T}{\partial y} \right|_{y=0} = 0, \quad \left. \frac{\partial T}{\partial y} \right|_{y=b} = 0,$$

$$T|_{z=0} = T_0, \quad T|_{z=c} = T_0 \quad (70)$$

и после косинус-преобразований Фурье [20] представляется в виде

$$T(y, z) = T_0 + \frac{q_0(e^{-\gamma b} - 1)}{2b\chi_{33}}(z^2 - cz) + \frac{2q_0\gamma^2}{b\chi_{22}} \sum_{n=1}^{\infty} \frac{[(-1)^n - e^{-\gamma b}]}{\omega_n^2(\omega_n^2 + \gamma^2)} \times$$

$$\times \left[ 1 + \frac{\operatorname{sh}\left(\sqrt{\frac{\chi_{22}}{\chi_{33}}} \omega_n(z-c)\right) - \operatorname{sh}\left(\sqrt{\frac{\chi_{22}}{\chi_{33}}} \omega_n z\right)}{\operatorname{sh}\left(\sqrt{\frac{\chi_{22}}{\chi_{33}}} \omega_n c\right)} \right] \cos \omega_n y, \quad (71)$$

а его поперечная термоЭДС  $\varepsilon_1^{\downarrow}$  с учетом (7) и (9) [5] имеет вид

$$\varepsilon_1^{\uparrow} = \frac{4q_0\alpha_{12}}{\chi_{22}} \frac{a}{b^2} \sum_{k=0}^{\infty} \frac{(1+e^{-\gamma b})(\gamma b)^2}{(2k+1)^2 \pi^2 [(2k+1)^2 \pi^2 + (\gamma b)^2]} \times$$

$$\times \left\{ 1 + \frac{b}{(2k+1)\pi c} \sqrt{\frac{\chi_{33}}{\chi_{22}}} \frac{2 \left[ 1 - \operatorname{ch}\left(\sqrt{\frac{\chi_{22}}{\chi_{33}}} \frac{(2k+1)\pi c}{b}\right) \right]}{\operatorname{sh}\left(\sqrt{\frac{\chi_{22}}{\chi_{33}}} \frac{(2k+1)\pi c}{b}\right)} \right\}. \quad (72)$$

Для АОТ с односторонним боковым термостатированием (рис. 4) уравнение теплопроводности также представляется выражением (3). Решаемое при граничных условиях

$$\left. \frac{\partial T}{\partial x} \right|_{x=0} = \left. \frac{\partial T}{\partial x} \right|_{x=a} = 0, \quad \left. \frac{\partial T}{\partial y} \right|_{y=0} = 0, \quad \left. \frac{\partial T}{\partial y} \right|_{y=b} = 0,$$

$$T|_{z=c} = T_0, \quad \left. \frac{\partial T}{\partial z} \right|_{z=0} = 0 \quad (73)$$

с помощью собственной функции задачи Штурма–Лиувилля при соответствующих граничных условиях с последующими преобразованиями и разложением в ряд Фурье [19, 20], оно позволяет получить следующее выражение распределения температуры:

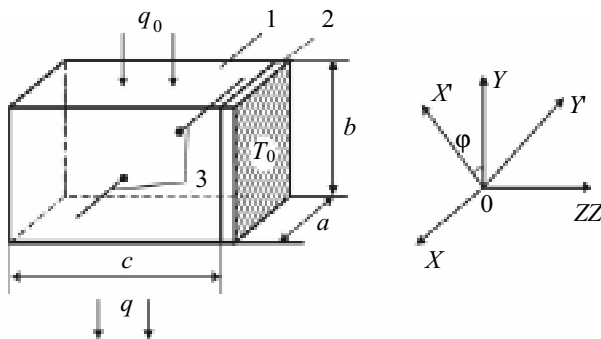


Рис. 4. Схема АОТ в случае термостатирования одной боковой грани:

1 — анизотропная пластина; 2 — термостат; 3 — электровыводы. Справа — лабораторная система координат XYZ и ориентация кристаллографических осей X'Y'Z' монокристаллической пластины 1

$$T(y, z) = T_0 + \frac{q_0(e^{-\gamma b} - 1)}{2\chi_{33}}(z^2 - c^2) +$$

$$+ \frac{2q_0\gamma^2}{b\chi_{22}} \sum_{n=1}^{\infty} \frac{[(-1)^n - e^{-\gamma b}]}{\lambda_n^2(\lambda_n^2 + \gamma^2)} \left\{ 1 - \frac{\operatorname{ch}\left(\sqrt{\frac{\chi_{22}}{\chi_{33}}} \lambda_n z\right)}{\operatorname{ch}\left(\sqrt{\frac{\chi_{22}}{\chi_{33}}} \lambda_n c\right)} \right\} \cos \lambda_n y. \quad (74)$$

При этом поперечная термоЭДС  $\varepsilon_2^{\downarrow}$  такого АОТ согласно [5] имеет вид

$$\varepsilon_2^{\uparrow} = \frac{4q_0\alpha_{12}}{\chi_{22}} \frac{a}{b^2} \sum_{k=0}^{\infty} \frac{(1+e^{-\gamma b})(\gamma b)^2}{(2k+1)^2 \pi^2 [(2k+1)^2 \pi^2 + (\gamma b)^2]} \times$$

$$\times \left\{ 1 - \frac{b}{(2k+1)\pi c} \sqrt{\frac{\chi_{33}}{\chi_{22}}} \operatorname{th}\left[\sqrt{\frac{\chi_{22}}{\chi_{33}}} \frac{(2k+1)\pi c}{b}\right] \right\}. \quad (75)$$

Аналогично предыдущим случаям, вольт-ваттные чувствительности АОТ с термостатированием одной и двух боковых граней представляются в следующем виде:

а) режим оптического пропускания ( $\gamma b \ll 1$ ) —

$$S_{01}^{\downarrow} = \frac{4\alpha_{12}}{\chi_{22}c} \sum_{k=0}^{\infty} \frac{2 - \gamma b}{(2k+1)^2 \pi^2 \left[ \frac{(2k+1)^2 \pi^2}{(\gamma b)^2} + 1 \right]} \times$$

$$\times \left\{ 1 + \frac{2b}{(2k+1)\pi c} \sqrt{\frac{\chi_{33}}{\chi_{22}}} \frac{1 - \operatorname{ch}\left[\sqrt{\frac{\chi_{22}}{\chi_{33}}} (2k+1)\pi c b^{-1}\right]}{\operatorname{sh}\left[\sqrt{\frac{\chi_{22}}{\chi_{33}}} (2k+1)\pi c b^{-1}\right]} \right\}; \quad (76)$$

$$(S_{01}^{\downarrow})' = \frac{4\alpha_{12}}{\chi_{22}c} \sum_{k=0}^{\infty} \frac{2 - \gamma b}{(2k+1)^2 \pi^2 \left[ \frac{(2k+1)^2 \pi^2}{(\gamma b)^2} + 1 \right]} \times$$

$$\times \left\{ 1 - \frac{b}{(2k+1)\pi c} \sqrt{\frac{\chi_{33}}{\chi_{22}}} \operatorname{th}\left[\sqrt{\frac{\chi_{22}}{\chi_{33}}} (2k+1)\pi c b^{-1}\right] \right\}; \quad (77)$$

б) режим объемного поглощения ( $\gamma b \approx 1$ ) —

$$S_{02}^{\uparrow} = \frac{4\alpha_{12}}{\chi_{22}c} \sum_{k=0}^{\infty} \frac{1 + e^{-1}}{(2k+1)^2 \pi^2 [(2k+1)^2 \pi^2 + 1]} \times$$

$$\times \left\{ 1 + \frac{b}{(2k+1)\pi c} \sqrt{\frac{\chi_{33}}{\chi_{22}}} \frac{2 \left[ 1 - \operatorname{ch}\left(\sqrt{\frac{\chi_{22}}{\chi_{33}}} \frac{(2k+1)\pi c}{b}\right) \right]}{\operatorname{sh}\left(\sqrt{\frac{\chi_{22}}{\chi_{33}}} \frac{(2k+1)\pi c}{b}\right)} \right\}; \quad (78)$$

$$(S_{02}^{\uparrow})' = \frac{4\alpha_{12}}{\chi_{22}c} \sum_{k=0}^{\infty} \frac{1 + e^{-1}}{(2k+1)^2 \pi^2 [(2k+1)^2 \pi^2 + 1]} \times$$

$$\times \left\{ 1 - \frac{b}{(2k+1)\pi c} \sqrt{\frac{\chi_{33}}{\chi_{22}}} \operatorname{th}\left[\sqrt{\frac{\chi_{22}}{\chi_{33}}} \frac{(2k+1)\pi c}{b}\right] \right\}; \quad (79)$$

в) режим поверхностного поглощения ( $\gamma b \gg 1$ ) —

$$S_{03}^{\uparrow \rightarrow} = \frac{4\alpha_{12}}{\chi_{22}^c} \sum_{k=0}^{\infty} \frac{(1+e^{-\gamma b})^2}{(2k+1)^2 \pi^2 \left[ (2k+1)^2 \pi^2 + (\gamma b)^2 \right]} \times \left\{ 1 + \frac{b}{(2k+1)\pi c} \sqrt{\frac{\chi_{33}}{\chi_{22}}} \frac{2 \left[ 1 - \operatorname{ch} \left( \sqrt{\frac{\chi_{22}}{\chi_{33}}} \frac{(2k+1)\pi c}{b} \right) \right]}{\operatorname{sh} \left( \sqrt{\frac{\chi_{22}}{\chi_{33}}} \frac{(2k+1)\pi c}{b} \right)} \right\}; \quad (80)$$

$$(S_{03}^{\uparrow \rightarrow})' = \frac{4\alpha_{12}}{\chi_{22}^c} \sum_{k=0}^{\infty} \frac{(1+e^{-\gamma b})^2}{(2k+1)^2 \pi^2 \left[ (2k+1)^2 \pi^2 + (\gamma b)^2 \right]} \times \left\{ 1 - \frac{b}{(2k+1)\pi c} \sqrt{\frac{\chi_{33}}{\chi_{22}}} \operatorname{th} \left[ \sqrt{\frac{\chi_{22}}{\chi_{33}}} \frac{(2k+1)\pi c}{b} \right] \right\}. \quad (81)$$

Численные оценки показали, что вольт-ваттная чувствительность АОТ с двухсторонним термостатированием боковых граней меньше вольт-ваттной чувствительности АОТ с односторонним. Также следует отметить, что АОТ с термостатированием боковых граней обладает значительно меньшей чувствительностью, чем АОТ с термостатированными рабочими гранями.

**Экспериментальные исследования АОТ**

Для оценки реальных возможностей АОТ исследовались их характеристики в режиме оптической прозрачности. Проведено сравнение теоретических расчетов и экспериментальных результатов, полученных по методике [13, 14]. В качестве источников лучистой энергии использовались газовые CO<sub>2</sub>-лазеры типа ЛГ22 и др. ( $\lambda_0=10,6$  мкм), гелий-неоновые лазеры ЛГ-36 ( $\lambda_0=1,06...3,36$  мкм), а также рубиновые лазеры ( $\lambda_0=0,53$  мкм), излучающие необходимые плотности лучистых потоков. Эта энергия корректировалась с помощью делителей мощности из монокристаллических CdTe, Al<sub>2</sub>O<sub>3</sub> и других материалов в виде круглых пластин диаметром 1,5—3,0 см различной толщины. Предварительная калибровка этих делителей осуществлялась на спектрографе ИКС-21 по уровню пропускания. Далее делители мощности вместе с испытуемым АОТ размещались в камере, термостатированной с помощью регулятора температуры при заданной температуре  $T=T_0$ . Величина термоЭДС исследуемых АОТ определялась при помощи цифрового микровольтметра типа В7-21.

Держатель образцов АОТ представляет собой цилиндрический корпус из меди, в центре которого размещен оптически прозрачный теплоотвод. Он выполняется из тех же материалов, что и делители мощности. Для увеличения оптического пропускания на грани теплоотвода и АОТ методом высокочастотного катодного распыления наносили просветляющие слои из CaF<sub>2</sub> соответствующей толщины. Предварительные оценки и испытания показали, что при теплоотводах из монокристаллов CdTe диаметром 3,0 см и толщиной 0,5 см проходящее излучение плотностью до 10<sup>3</sup> Вт/см<sup>2</sup> практически не вызывает искажений распределений температурного поля внутри объема АОТ.

АОТ выполнялись из материалов, параметры которых приведены в табл. 1 [22—24]. Оптимальный угол  $\phi$ , под которым ориентированы выбранные кристаллографические направления, составляет 45°.

Анализ экспериментальных результатов показал, что при соответствующих геометрических размерах АОТ и заданных параметрах его материалов зависимость между ЭДС  $\epsilon$  и плотностью падающей энергии  $q_0$  носит линейный характер. В случае проходящего излучения плотностью свыше 10<sup>3</sup> Вт/см<sup>2</sup> ( $\lambda=10,6$  мкм) и высоты АОТ из CdSb  $b=0,2$  см наблюдается отклонение от линейности, связанное с перегревом термоэлемента, и возрастание вследствие этого коэффициента оптического поглощения  $\gamma$  и поперечной термоЭДС  $\alpha_{12}$ . Проведенные оценки показывают, что в этом случае каждые 25 Вт проходящей мощности вызывают перегрев верхней грани АОТ на 1 К. Следует отметить, что значение ЭДС оптически просветленных АОТ превышает ЭДС непросветленных.

В некоторых случаях при больших плотностях проходящей энергии  $q_0$  и некачественной подготовке поверхности рабочей грани термоэлемента, а также при больших толщинах клеевых слоев, наблюдается значительный перегрев АОТ, приводящий к его разрушению.

В табл. 2 и 3 приведены параметры АОТ, работающих в режиме оптической прозрачности, в случае термостатирования рабочих и боковых граней. Данные таблиц соответствуют температуре  $T=300$  К.

Следует отметить, что созданные АОТ позволили контролировать лучистую энергию непосредственно в процессе выполнения различных информационно-технологических задач и впервые реализовали метод «прозрачной стенки» [12].

Изменение геометрии лучепреломляющих поверхностей АОТ и термостата, формы их поперечного сечения [21] привело к появлению устройств, позволяющих, наряду с регистрацией лучистых потоков, проводить необходимые энергоспектральные перерас-

Таблица 1

*Характеристики материалов, используемых для АОТ*

Материал	Область оптического пропускания, $\lambda$ , мкм	Коэффициент оптического поглощения, $\gamma$ , см <sup>-1</sup>	Коэффициент поперечной термоЭДС, $\Delta\alpha$ , мкВ/К	Коэффициент теплопроводности, $\chi$ , Вт/(см·К)	Коэффициент электропроводности, $\sigma$ , (Ом·см) <sup>-1</sup>
CdSb	2,6—40,0	0,1—0,3	100—300	$1,5 \cdot 10^{-2}$	0,3
ZnSb	2,4—27,0	0,4—0,8	100—200	$1,1 \cdot 10^{-2}$	0,5
CdAs <sub>2</sub>	1,25—16,0	0,5—1,0	250—450	$3 \cdot 10^{-2}$	0,03
ZnAs <sub>2</sub>	1,36—21,0	0,8—1,2	180—360	$6 \cdot 10^{-2}$	0,01
CdS	0,5—18,0	0,2—0,8	120—220	$2 \cdot 10^{-2}$	0,6



Таблица 2  
 Параметры АОТ при термостатировании рабочей грани

Тип приемника	Материал термоэлемента	Материал термостата	$S_0$ , В/Вт	$q_{0max}$ , Вт·см <sup>-2</sup>	Размеры рабочих граней АОТ, см
АПП-1	CdSb	CdTe	$2 \cdot 10^{-5}$	$1,5 \cdot 10^3$	0,3×0,3
АПП-2	CdSb	CdTe	$3 \cdot 10^{-6}$	$4,5 \cdot 10^2$	1,0×1,0
АПП-3	CdAs <sub>2</sub>	CdTe	$3 \cdot 10^{-7}$	$1,6 \cdot 10^3$	0,1×0,1
АПП-4	ZnAs <sub>2</sub>	CdTe	$0,8 \cdot 10^{-7}$	$1 \cdot 10^4$	0,8×0,8
АПП-5	CdS	Al <sub>2</sub> O <sub>3</sub>	$1,5 \cdot 10^{-7}$	$8 \cdot 10^4$	0,5×0,5

Таблица 3  
 Параметры АОТ при термостатировании боковых граней

Тип приемника	Материал термоэлемента	Материал термостата	$S_0$ , В/Вт	$q_{0max}$ , Вт·см <sup>-2</sup>	Размеры рабочих граней АОТ, см
АПП-11	CdSb	Cu	$7 \cdot 10^{-7}$	$1,5 \cdot 10^3$	0,3×0,3
АПП-32	CdAs <sub>2</sub>	Cu	$2 \cdot 10^{-8}$	$1,6 \cdot 10^3$	0,1 × 0,1
АПП-36	CdS	Cu	$2,5 \cdot 10^{-8}$	$8 \cdot 10^4$	0,5 × 0,5

пределения. При этом возможно одновременное использование их в качестве конструкционных элементов — таких как выходные окна и фильтры различных излучателей.

**Выводы**

1. Определены ЭДС, КПД и вольт-ваттная чувствительность анизотропных оптикотермоэлементов при одномерном распределении температур. Показана возможность их работы в режимах оптического пропускания, объемного и поверхностного поглощений.

2. Анизотропия теплопроводности материала приводит к увеличению вольт-ваттной чувствительности АОТ в случае термостатирования нижней рабочей грани, и к ее уменьшению — в случае термостатирования верхней рабочей грани.

3. Термостатирование боковых граней АОТ ведет к уменьшению их вольт-ваттной чувствительности, однако при этом наблюдается минимальное искажение фазо-амплитудных характеристик регистрируемого излучения.

Рассмотренные АОТ впервые позволили предложить и реализовать метод «прозрачной стенки», предназначенный для регистрации лучистых потоков повышенной плотности в широком спектральном диапазоне.

**ИСПОЛЬЗОВАННЫЕ ИСТОЧНИКИ**

1. Tomson W. On thermoelectric currents in linear conductors of crystallintidiens // Math. Phys. Papers.— 1882.— N 1.— P. 266—273.  
 2. Kohler M. Dependence of thermoelectric phenomena from crystalline orientation // Annal. Phys.— 1941.— Vol. 40.— N 13.— P. 243—249.  
 3. Анатыхчук Л. И., Лусте О. Я. Вихревые термоэлектрические токи и вихревые термоэлементы // ФТП.— 1976.— Т. 10, № 5.— С. 817—831.

4. Слипченко В. Н., Снарский А. А. Влияние анизотропии теплопроводности на поперечную термоэдс // Там же.— 1974.— Т. 8, № 10.— С. 2010—2012.  
 5. Снарский А. А. ЭДС термоэлементов, использующих анизотропию термоэдс. Анизотропные термоэлементы прямоугольной формы // Там же.— 1977.— Т. 11, № 10.— С. 2053—2055.  
 6. Ащеулов А. А., Беликов А. Б., Раренко А. И. Поперечная термоэдс, обусловленная анизотропией теплопроводности // УФЖ.— 1983.— № 8.— С. 1226—1336.  
 7. Ащеулов А. А., Гуцул И. В., Раренко А. И. ЭДС и КПД анизотропного термоэлемента в случае учета анизотропии термоэдс и теплопроводности//Там же.— 1997.— Т. 42, № 6.— С. 698—701.  
 8. Снарский А. А., Пальти А. М., Ащеулов А. А. Анизотропные термоэлементы // ФТП.— 1997.— Т. 31, № 11.— С. 1281—1298.  
 9. Ащеулов А. А., Гуцул И. В., Снарский А. А. Анизотропные оптикотермоэлементы / Докл. VII Межгос. семинара «Термоэлектрики и их применение». — С.-Петербург.— 2002.— С. 402—405.  
 10. Ащеулов А. А. Анизотропный радиационный термоэлемент для измерения проходной мощности // Оптико-механическая промышленность.— 1989.— № 12.— С. 47—49.  
 11. Гуцул И. В. Анизотропный оптикотермоэлемент в случае совпадения направлений лучистого потока и градиента температуры // УФЖ.— 1998.— Т. 43, № 10.— С. 1278—1281.  
 12. Ащеулов А. А., Гуцул И. В., Раренко А. И. Метод «прозрачной стенки» для контроля лучистых потоков различной мощности // Технология и конструирование в электронной аппаратуре.— 1999.— № 2—3.— С. 33—36.  
 13. Ащеулов А. А., Пилат И. М., Раренко И. М. Влияние теплообмена на вольт-ваттную чувствительность АТ // Физ. электроники.— 1980.— № 21.— С. 98—100.  
 14. Ащеулов А. А. Физико-химические основы технологии оптических анизотропных термоэлектрических и оптикотермоэлектрических материалов из антимонида кадмия / Автореф. дис.: ... докт. техн. наук.— Черновцы: ЧГУ, 1994.  
 15. Ащеулов А. А., Кондратенко В. М., Пилявский Ю. Б., Раренко И. М. ЭДС АОТ в режиме оптического пропускания // ФТП.— 1984.— Т. 5, № 7.— С. 1330—1331.  
 16. Ащеулов А. А., Гуцул И. В., Раренко А. И. Анизотропный радиационный термоэлемент, действующий в режиме внутреннего отражения // Оптический журнал.— 1993.— № 4.— С. 78—79.  
 17. Ashcheulov A. A., Gutsul I. V. Anisotropic optical thermoelectric elements // J. of Thermoelectricity.— 1997.— N 3.— P. 81—89.  
 18. Лыков А. В. Теория теплопроводности.— М.: Высшая школа, 1967.  
 19. Ленюк М. П. Интегральные преобразования с раздельными переменными (Фурье, Ханкеля) / Препринт Ин-та математики 83.4.— Киев: Ин-т математики, 1983.  
 20. Ащеулов А. А., Гуцул И. В. Исследование распределения температуры анизотропной пластины с учетом ее оптических свойств // Технология и конструирование в электронной аппаратуре.— 2003.— № 6.— С. 49—50.  
 21. Ащеулов А. А., Охрем В. Г. Радиационный анизотропный оптикотермоэлемент с боковым термостатированием // Там же.— 2004.— № 1.— С. 45—47.  
 22. Ashcheulov A. A., Manik O. N., Marenkin S. F. Cadmium antimonide: chemical bonding and technology // Inorganic Materiale.— 2003.— Vol. 39, N 32.— P. 59—67.  
 23. Ащеулов А. А., Воронка Н. К., Маренкин С. Ф., Раренко И. М. Получение и использование оптимизированных материалов из антимонида кадмия // Неорг. материалы.— 1996.— Т. 32, № 9.— С. 1049—1060.  
 24. Маренкин С.Ф., Раухман А. М., Пищиков Д. И., Лазарев А. Б. Получение и свойства диарсенидов кадмия и цинка // Неорг. материалы.— 1992.— Т. 28, № 10.— С. 1813—1832.  
 25. Гуцул И. В. Явища електро- та теплопереносу у анізотропних напівпровідниках / Автореф. дис. ... докт. физ.-мат. наук.— Черновцы: ЧНУ им. Ю. Федьковича, 2000.